

Проект 20-21

Ilya Pchelintsev

1 Введение

1.1 Одномерная модель Изинга

Модель Изинга представляет собой решетку, в узлах которой расположены магнитные моменты, направленные "вверх" или "вниз" чему соответствует значение "спина" на j -ом месте в решетке.

$$\sigma_j = \pm 1$$

Энергией взаимодействия внешнего поля с моделью будем считать сумму взаимодействий поля h с каждым из N моментов со спином σ_j

$$H_h = - \sum_{j=1}^N h \sigma_j \quad (1.1)$$

Внутренним взаимодействием между двумя соседними моментами считаем:

$$H_J = - \sum_{(i,j)} J \sigma_i \sigma_j \quad (1.2)$$

Тогда Гамильтонианом системы из N спинов будет:

$$H = -h \sum_{j=1}^N \sigma_j - J \sum_{(i,j)} (\sigma_1 \sigma_2 + \sigma_2 \sigma_3 + \dots + \sigma_{N-1} \sigma_N) \quad (1.3)$$

1.2 Статсумма цепи Изинга общего случая $(h, J \neq 0)$: периодич. гран. условия и Трансфер-матрица

Для поиска решения данного случая воспользуемся методом **трансфер-матриц**.

Для начала перепишем формулу (1.3) в другой форме:

$$H = -\frac{h}{2} \sum_{j=1}^N (\sigma_j + \sigma_{j+1}) - J \sum_{j=1}^N \sigma_j \sigma_{j+1} \quad (1.4)$$

Учитывая периодические гран. условия $(\sigma_{N+1} = \sigma_1)$, то формулы (1.3) и (1.4) тождественно равны.

Тогда статсумма такой модели будет равна:

$$Z = \sum_{\sigma} e^{-\beta H} = \sum_{\sigma} \prod_{j=1}^N \exp(\beta J \sigma_j \sigma_{j+1} + \frac{1}{2} \beta h (\sigma_j + \sigma_{j+1})) = \sum_{\sigma} \prod_{j=1}^N T(\sigma_j, \sigma_{j+1}) \quad (1.5)$$

Где $T(\sigma_j, \sigma_{j+1})$ - трансфер-матрица для двух соседних моментов. Поскольку один момент принимают лишь два значения (± 1) , а пара - уже четыре - $(1,1), (1,-1), (-1,1), (-1,-1)$ - то, их матрица представляет с собой матрицу с элементами, соответствующими этим парам значений:

$$T(\sigma_j, \sigma_{j+1}) = \begin{pmatrix} \exp(\beta J + \beta h) & \exp(-\beta J) \\ \exp(-\beta J) & \exp(\beta J - \beta h) \end{pmatrix} \quad (1.6)$$

Если рассмотреть сумму произведений двух соседних матриц от $j-1$, j и $j+1$ внутри цепи при всевозможных значениях моментов, мы получим:

$$\sum_{\sigma=\pm 1} T(\sigma_{j-1}, \sigma_j) T(\sigma_j, \sigma_{j+1}) = T^2(\sigma_{j-1}, \sigma_{j+1})$$

1.3 Диагонализация Трансфер-матрицы

Попробуем диагонализировать Трансфер-матрицу ($T = RT^D R^{-1}$), тогда полное произведение матриц будет:

$$\sum_{\sigma} \prod_j^N T(\sigma_j, \sigma_{j+1}) = R(T^D)^N R^{-1}(\sigma_1, \sigma_{N+1} = \sigma_1)$$

Диагонализированная матрица будет выглядеть как:

$$T^D = \begin{pmatrix} \lambda_+ & 0 \\ 0 & \lambda_- \end{pmatrix} \quad (1.7)$$

$$(T^D)^N = \begin{pmatrix} \lambda_+^N & 0 \\ 0 & \lambda_-^N \end{pmatrix} \quad (1.8)$$

Найдём собственные значения λ_{\pm} и их собственные вектора:

$$\lambda_{\pm} = e^{\beta J} \cosh(\beta h) \pm Q$$

$$Q = \sqrt{e^{2\beta J} \cosh^2(\beta h) - 2 \sinh(2\beta J)}$$

$$R = \begin{pmatrix} e^{\beta J} \lambda_{+2} & e^{\beta J} \lambda_{-2} \\ 1 & 1 \end{pmatrix} \quad (1.9)$$

$$R^{-1} = \begin{pmatrix} \frac{1}{2e^{\beta J} Q} & 1 - \frac{\lambda_{+2}}{2Q} \\ -\frac{1}{2e^{\beta J} Q} & \frac{\lambda_{+2}}{2Q} \end{pmatrix} \quad (1.10)$$

$$\lambda_{\pm 2} = e^{\beta J} \sinh(\beta h) \pm Q$$

Эти формулы понадобятся нам позднее.

Поскольку нам нужен инвариантный след данной матрицы, т.к. матрица зависит от одного элемента, то достаточно $Z = \text{Tr}(T^D)^N$

Таким образом:

$$Z_{PBC} = \lambda_+^N + \lambda_-^N \quad (1.11)$$

1.4 Статсумма цепи Изинга общего случая ($h, J \neq 0$) : открытые гран. условия

Расчёт статсуммы в данном случае сложнее, т.к. система не замкнута, и крайние значения не имеют внутреннего взаимодействия между собой. Попробуем воспользоваться формулой (1.4) с корректировкой под открытые условия:

$$H = -\frac{h}{2} \sum_{j=1}^{N-1} (\sigma_j + \sigma_{j+1}) - J \sum_{j=1}^{N-1} \sigma_j \sigma_{j+1} - \frac{h}{2} (\sigma_1 + \sigma_N) \quad (1.12)$$

$$Z = \sum_{\sigma} e^{-\beta H} = \sum_{\sigma} \prod_{j=1}^{N-1} \exp(\beta J \sigma_j \sigma_{j+1} + \frac{1}{2} \beta h (\sigma_j + \sigma_{j+1})) \exp(\frac{1}{2} \beta h (\sigma_1 + \sigma_N)) =$$

$$= \sum_{\sigma} \prod_{j=1}^{N-1} T(\sigma_j, \sigma_{j+1}) T'(\sigma_1, \sigma_N)$$

Где $T'(\sigma_1, \sigma_N)$ - трансфер-матрица для крайних моментов. От ранее рассмотренных матриц она отличается отсутствием внутреннего взаимодействия, поэтому она представима в виде:

$$T(\sigma_1, \sigma_N) = \begin{pmatrix} \exp(\beta h) & 1 \\ 1 & \exp(-\beta h) \end{pmatrix}$$

К полному произведению применимы те же рассуждения, что и в периодическом случае: воспользовшись диагонализацией трансфер-матрицы T , мы получим:

$$Z = \sum_{\sigma} \prod_j^{N-1} T(\sigma_j, \sigma_{j+1}) T'(\sigma_1, \sigma_N) = R(T^D)^{N-1} R^{-1} T'(\sigma_1, \sigma_N)$$

Просуммировав элементы матрицы, полученной из данного произведения, мы получим:

$$Z_{OBC} = \lambda_+^{N-1} \left(\frac{e^{\beta J} \sinh \beta h^2}{Q} + \frac{1}{e^{\beta J} Q} + \cosh \beta h \right) - \lambda_-^{N-1} \left(\frac{e^{\beta J} \sinh \beta h^2}{Q} + \frac{1}{e^{\beta J} Q} - \cosh \beta h \right) \quad (1.13)$$

1.5 Итоги

Нам известна статсумма модели для общего случая:

$$Z_{PBC} = \lambda_+^N + \lambda_-^N$$

- для периодического граничного условия

$$Z_{OBC} = \lambda_+^{N-1} \left(\frac{e^{\beta J} \sinh \beta h^2}{Q} + \frac{1}{e^{\beta J} Q} + \cosh \beta h \right) - \lambda_-^{N-1} \left(\frac{e^{\beta J} \sinh \beta h^2}{Q} + \frac{1}{e^{\beta J} Q} - \cosh \beta h \right)$$

- для открытого погран. случая, где

$$\lambda_{\pm} = e^{\beta J} \cosh(\beta h) \pm Q$$

$$Q = \sqrt{e^{2\beta J} \cosh^2(\beta h) - 2 \sinh(2\beta J)}$$

2 Средняя намагниченность случая $h = 0$

По предыдущим расчетам мы знаем формулу ср. намагниченности, с самого начала считая $J = 0$. С одной стороны, по определению среднего:

$$\langle \sigma \rangle = \frac{1}{ZN} \int S e^{-\beta H}, H = -h \sum_{j=1}^N \sigma_j = -hS \quad (2.1)$$

где S - сумма всех моментов в цепи. С другой стороны:

$$\frac{1}{ZN} \int S e^{-\beta H} = \frac{\partial \text{Log}[Z_{J=0}]}{\partial h} \frac{1}{\beta N} = \frac{1}{Z\beta N} \frac{\partial Z}{\partial h} \quad (2.2)$$

В этом случае Z берется сразу при условии ($J = 0$), её гамильтонианом для N спинов при периодичном и открытом гран. условии будет (1.1), а статсуммой будет формула (30.8) при (30.10) из учебника Свендсена [1]:

$$Z_{J=0} = (2 \cosh \beta h)^N \quad (2.3)$$

$$\frac{\partial Z}{\partial h} = \beta N 2^N (\cosh \beta h)^{N-1} \sinh \beta h \quad (2.4)$$

Следовательно, при подстановке в (2.2), получим:

$$\langle \sigma \rangle = \frac{1}{Z\beta N} \frac{\partial Z}{\partial h} = \tanh(\beta h) \quad (2.5)$$

Применим эту операцию для статсуммы общего случая. Для упрощения задачи будем рассматривать случай $h = 0$.

2.1 Периодичные гран. условия

Перед этим для простоты найдём производные всех составляющих статсумм:

$$(Q)'_h = \frac{1}{2\sqrt{e^{2\beta J} \cosh(\beta h)^2 - 2 \sinh(2\beta J)}} (e^{2\beta J} 2 \cosh(\beta h) \sinh(\beta h) \beta) \quad (2.6)$$

и при ($h = 0$) = 0

Тогда:

$$(\lambda_{\pm})'_h = e^{\beta J} \sinh(\beta h) \beta \pm (Q)'_h \quad (2.7)$$

и при ($h = 0$) так же = 0

Таким образом:

$$\langle \sigma_{PVC} \rangle = \frac{1}{Z\beta N} \frac{\partial Z}{\partial h} = \frac{1}{Z\beta N} (N \lambda_+^{N-1} (\lambda_+)'_h + \lambda_-^{N-1} (\lambda_-)'_h) = 0 \quad (2.8)$$

2.2 Открытые гран. условия

Найдём дополнительные значения составляющих Z_{OVC}

$$Q_{h=0} = e^{-\beta J}$$

Также найдём значения λ_{\pm} при $h = 0$

$$\lambda_{\pm(h=0)} = e^{\beta J} \pm \sqrt{e^{2\beta J} - (e^{2\beta J} - e^{-2\beta J})} = e^{\beta J} \pm e^{-\beta J} \quad (2.9)$$

Тогда $\lambda_{+(h=0)} = 2 \cosh \beta J$ и $\lambda_{-(h=0)} = 2 \sinh \beta J$

Рассмотрим производную Z_{OVC} по h , учитывая дифференцирование произведения и все полученные ранее результаты ((2.6), (2.7), (2.9))

$$\begin{aligned} \frac{\partial Z}{\partial h} = & \lambda_+^{N-1} \left(\frac{e^{\beta J} 2 \sinh \beta h \cosh \beta h \beta Q - (Q)'_h e^{\beta J} \sinh \beta h^2}{Q^2} - \frac{(Q)'_h}{e^{\beta J} Q^2} + \beta \sinh \beta h \right) - \\ & - \lambda_-^{N-1} \left(\frac{e^{\beta J} 2 \sinh \beta h \cosh \beta h \beta Q - (Q)'_h e^{\beta J} \sinh \beta h^2}{Q^2} - \frac{(Q)'_h}{e^{\beta J} Q^2} - \beta \sinh \beta h \right) =_{h=0} 0 \quad (2.10) \end{aligned}$$

Следовательно, $\langle \sigma_{OBC} \rangle = 0$

2.3 Магнитная восприимчивость

Мы выяснили, что средняя намагниченность одномерной цепи при любом гран. условии равна нулю. Рассмотрим в таком случае магнитную восприимчивость $X = \frac{\partial \langle m \rangle}{\partial h}$

Учитывая формулу намагниченности (2.1) и то, что первая производная статсуммы (2.10) равна нулю:

$$X = \left(\frac{1}{Z\beta} \frac{\partial Z}{\partial \beta} \right)'_h = \frac{1}{\beta} \left(\frac{\partial Z}{\partial \beta} \left(-\frac{1}{Z^2} \frac{\partial Z}{\partial \beta} \right) + \frac{1}{Z} \frac{\partial^2 Z}{\partial h^2} \right) = \frac{1}{Z\beta} \frac{\partial^2 Z}{\partial h^2}$$

После расчётов, представленных в .nb файле (раздел 21.10.2020 (поиск X)) получим:

$$X = \frac{\beta}{2} (2N e^{2\beta J} - e^{4\beta J} + 1) + \frac{\beta}{2} \tanh^{N-1} \beta J (e^{4\beta J} - 2e^{2\beta J} + 1)$$

Подстановка $T = 0, \infty$ приведёт к одинаковому результату и обратной зависимости от T, что говорит о парамагнетических свойствах одномерной модели Изинга.

3 Средняя энергия

Чтобы удостовериться в правильности полученной формулы для статсуммы общего случая открытого гран. условия (1.13), проверим её на предельных условиях ($h = 0$, $J = 0$), поскольку они были рассмотрены в учебнике [1].

Нам известна формула средней энергии:

$$\langle U \rangle = -\frac{\partial \text{Log}[Z]}{\partial \beta} = \frac{1}{Z} \frac{\partial Z}{\partial \beta} \quad (3.1)$$

Предварительно будет нелишним найти значения составных частей формулы и их производных по β

$$\begin{aligned} \lambda'_{\pm} &= e^{\beta J} J \cosh \beta h + e^{\beta J} \sinh \beta h \quad h \pm \\ &\pm \frac{1}{Q} (e^{2\beta J} J \cosh \beta h + e^{2\beta J} \cosh \beta h \sinh \beta h \quad h - \cosh 2\beta J \quad 2J) \end{aligned}$$

В виду большого числа различных значений, составим таблицу всех составных значений в формуле.

	λ_+	$(\lambda_+)_{\beta}'$	λ_-	$(\lambda_-)_{\beta}'$	Q	$(Q)_{\beta}'$
$h = 0$	$2 \cosh \beta J$	$2J \sinh \beta J$	$2 \sinh \beta J$	$2J \cosh \beta J$	$e^{-\beta J}$	$-J e^{-\beta J}$
$J = 0$	$2 \cosh \beta h$	$2h \sinh \beta h$	0	0	$\cosh \beta h$	$h \sinh \beta h$

Таблица 1: Производные составных значений статсумм

3.1 Проверка случая $J = 0$

Теперь можно перейти к проверке по предельным случаям.

$$Z_{OBC}(h = 0) = 2^{N-1} \cosh \beta J^{N-1} (0 + 1 + 1) - 2^{N-1} \sinh \beta J^{N-1} (0 + 1 - 1) = 2^N \cosh \beta J^{N-1}$$

$$\begin{aligned} Z_{OBC}(J = 0) &= 2^{N-1} \cosh \beta h^{N-1} \left(\frac{(\sinh \beta h)^2 + 1}{\cosh \beta h} + \cosh \beta h \right) = \\ &= 2^{N-1} \cosh \beta h^{N-1} \left(\frac{(\cosh \beta h)^2}{\cosh \beta h} + \cosh \beta h \right) = \\ &= 2^N \cosh \beta h^N \end{aligned}$$

Как и ожидалось, статсуммы совпали с расчетами учебника [1], что говорит о правильности формулы. Чтобы сильнее убедиться в этом, найдём формулы средней энергии.

Для $J = 0$ заранее учтём, что правое слагаемое формулы статсуммы и её производной обнулится:

$$\begin{aligned} \frac{\partial Z}{\partial \beta} &= \lambda_+^{N-1} \left(\frac{e^{\beta J} \sinh \beta h ((J \sinh \beta h + 2h \cosh \beta h) Q - (Q)_{\beta}' \sinh \beta h)}{Q^2} - \right. \\ &\quad \left. - \frac{JQ + (Q)_{\beta}'}{e^{\beta J} Q^2} + h \sinh \beta h \right) + \lambda_+^{N-2} (\lambda_+)_{\beta}' (N-1) \left(\frac{e^{\beta J} \sinh \beta h^2}{Q} + \frac{1}{e^{\beta J} Q} + \cosh \beta h \right) \end{aligned}$$

При подстановке $J=0$ мы получим $2^N (\cosh \beta h)^{N-1} N \sinh \beta h$

И в конечном счёте формула средней энергии системы при $J=0$:

$$\langle U_{J=0} \rangle = -\frac{1}{Z} \frac{\partial Z}{\partial \beta} = -N h \tanh \beta h$$

Данная формула полностью совпадает с расчётами в учебнике [1], что говорит о правильности формулы для статсуммы обобщенного случая.

3.2 Случай $h = 0$

Из проделанных ранее расчётов для средней энергии системы при случае $h = 0$, используя соответствующую статсумму, мы получили следующую формулу:

$$\langle U_{h=0} \rangle = -J(N-1) \tanh \beta J$$

Попробуем вывести ту же формулу через статсумму общего случая.

Начнём со статсуммы:

$$Z_{OBC}(h=0) = \lambda_+^{N-1}(0+1+1) - \lambda_-^{N-1}(0+1-1) = 2^N (\cosh \beta J)^{N-1}$$

Поскольку формула производной статсуммы увеличится в два раза из-за ненулевых λ_- и $(\lambda_-)'_\beta$ рассмотрим их сомножители, заранее учитывая их отличие лишь в знаке правого $\cosh \beta h$. Назовём их A_+ и A_- .

Так, при подстановке в производную как $+$, так и $-$ $h=0$ получим ноль. А при подстановке $h=0$ в сами сомножители, получим:

$$A_{+(h=0)} = 2$$

$$A_{-(h=0)} = 0$$

Таким образом, наша формула $\frac{\partial Z}{\partial \beta}_{h=0}$ сократилась в 4 раза и равна:

$$\frac{\partial Z}{\partial \beta}_{h=0} = (N-1) \lambda_+^{N-2} (\lambda_+)'_\beta 2 = J(N-1) 2^N (\cosh \beta J)^{N-1} \sinh \beta J$$

Итоговая формула средней энергии будет:

$$\langle U_{h=0} \rangle = -\frac{1}{Z} \frac{\partial Z}{\partial \beta} = -J(N-1) \tanh \beta J$$

3.3 Сравнение средней энергии моделей с периодичным и открытым гран. условиями

Найдём формулу средней энергии для случая с периодичным гран. условием для $h = 0$. Воспользовавшись формулой (1.11) для нахождения средней энергии через (3.1) и таблицей производных, получим:

$$\begin{aligned} \langle E_{PBC(h=0)} \rangle &= \frac{1}{Z_{PBC}(h=0)} \left(N \lambda_+^{N-1} (\lambda_+)'_\beta + N \lambda_-^{N-1} (\lambda_-)'_\beta \right) = \\ &= JN 2^N \sinh \beta J \cosh \beta J \frac{(\cosh \beta J)^{N-2} + (\sinh \beta J)^{N-2}}{(\cosh \beta J)^N + (\sinh \beta J)^N} = \\ &= JN 2^N \tanh \beta J \frac{1 + (\tanh \beta J)^{N-2}}{1 + (\tanh \beta J)^N} \approx JN 2^N \tanh \beta J \end{aligned}$$

$$\frac{1 + (\tanh x)^{N-2}}{1 + (\tanh x)^N} = \frac{1 + x^N \left(\frac{1}{x^2} + \left(\frac{2}{3} - \frac{n}{3} \right) + O(x) \right)}{1 + x^N \left(1 - \frac{nx^2}{3} + O(x^3) \right)} \approx 1, \quad x \rightarrow 0, \quad 1, \quad x \rightarrow \infty$$

4 Теплоёмкость на спин при $h = 0$

Теперь, поскольку наша формула статсуммы Z_{OBC} (для крайних случаев) и её производная (для средних наблюдаемых) полностью верна, проверим правильность статсуммы до второй производной по β для нахождения теплоёмкости на спин S в случае нулевого поля.

4.1 Открытое гран. условие

Из учебника данная формула выглядит следующим образом:

$$c = \frac{1}{N} \frac{\partial U}{\partial T} = -\frac{1}{N k_B T^2} \frac{\partial U}{\partial \beta} \approx k_B \beta^2 J^2 (\text{sech} \beta J)^2 \quad (4.1)$$

Предыдущие вычисления уже показали правильность формулы средней энергии, однако для более полной проверки выразим U через статсумму, и следовательно:

$$-\frac{1}{N k_B T^2} \frac{\partial U}{\partial \beta} = -k_B \beta^2 \frac{1}{N} \frac{\partial}{\partial \beta} \left(-\frac{1}{Z} \frac{\partial Z}{\partial \beta} \right) = k_B \beta^2 \frac{1}{N} \left(-\frac{1}{Z^2} \left(\frac{\partial Z}{\partial \beta} \right)^2 + \frac{1}{Z} \frac{\partial^2 Z}{\partial \beta^2} \right)$$

Теперь для определения второй производной статсуммы перейдём к той же замене, как в конце предыдущего раздела:

$$\begin{aligned} Z_{OBC} &= \lambda_+^{N-1} A_+ - \lambda_-^{N-1} A_- \\ (Z_{OBC})'_\beta &= (N-1) \lambda_+^{N-2} (\lambda_+)'_\beta A_+ + \lambda_+^{N-1} (A_+)'_\beta - (N-1) \lambda_-^{N-2} (\lambda_-)'_\beta A_- - \lambda_-^{N-1} (A_-)'_\beta \end{aligned}$$

Т.к. мы знаем, что первые производные $(A_\pm)'_\beta = 0$ и $A_- = 0, A_+ = 2$, то половина второй производной (вследствие производной произведения) обнулится. Будет лучше заранее найти значения вторых производных A и λ_\pm при $h = 0$.

$$\begin{aligned} (A_\pm)''_{\beta=h=0} &= 0 \\ (\lambda_\pm)''_{\beta=h=0} &= J^2 (e^{\beta J} \pm e^{-\beta J}) \end{aligned}$$

Таким образом, единственным необнулённым слагаемым второй производной будет первое и:

$$\begin{aligned} Z_{OBC} &= 2 \lambda_+^{N-1} \\ (Z_{OBC})'_\beta &= 2(N-1) \lambda_+^{N-2} (\lambda_+)'_\beta \\ (Z_{OBC})''_\beta &= 2(N-1) ((N-2) \lambda_+^{N-3} (\lambda_+)'_\beta{}^2 + \lambda_+^{N-2} (\lambda_+)'_\beta'') \end{aligned}$$

Раскрыв все λ_+ и подставив в формулу теплоёмкости на спин, получим:

$$\begin{aligned} c &= k_B \beta^2 \left(1 - \frac{1}{N} \right) \left(-(N-1) \left(\frac{(\lambda_+)'_\beta}{\lambda_+} \right)^2 + (N-2) \left(\frac{(\lambda_+)'_\beta}{\lambda_+} \right)^2 + \frac{(\lambda_+)'_\beta''}{\lambda_+} \right) = \\ &= k_B \beta^2 J^2 \left(1 - \frac{1}{N} \right) \left(1 - \left(\frac{\sinh \beta J}{\cosh \beta J} \right)^2 \right) \approx k_B \beta^2 J^2 (\text{sech} \beta J)^2 \end{aligned}$$

Формулы полностью совпали.

4.2 Периодическое гран. условие

Формула теплоёмкости на спин для данного условия отсутствует в учебнике, поэтому сравнить полученный результат с первоисточником не получится и к вычислениям данной формулы требуется особое внимание.

Начнём с формулы статсуммы:

$$Z_{PBC} = \lambda_+^N + \lambda_-^N = \lambda_+^N (1 + (\frac{\lambda_+}{\lambda_-})^N) =_{h=0} 2^N (\cosh \beta J)^N (1 + (\tanh \beta J)^N)$$

$$(Z_{PBC})'_\beta = N(\lambda_+^{N-1}(\lambda_+)'_\beta + \lambda_-^{N-1}(\lambda_-)'_\beta) = JN2^N (\cosh \beta J)^{N-1} \sinh \beta J (1 + (\tanh \beta J)^{N-2})$$

$$(Z_{PBC})''_\beta = N(\lambda_+^{N-1}(\lambda_+)''_\beta) + (N-1)\lambda_+^{N-2}(\lambda_+)'_\beta{}^2 + \lambda_-^{N-1}(\lambda_-)''_\beta + (N-1)\lambda_-^{N-2}(\lambda_-)'_\beta{}^2 =$$

$$= 2^N NJ^2 (\cosh \beta J)^N (1 + (N-1)(\tanh \beta J)^2 + (N-1)(\tanh \beta J)^{N-2} + \tanh \beta J)$$

Прошлые расчёты показали, что формула теплоёмкости на спин выражается через статсумму как:

$$c = \frac{k_B \beta^2}{N} \left(-\frac{1}{Z^2} \left(\frac{\partial Z}{\partial \beta} \right)^2 + \frac{1}{Z} \frac{\partial^2 Z}{\partial \beta^2} \right)$$

В таком случае, при подстановке статсуммы и производных, мы получим:

$$c = k_B \beta^2 J^2 \left(1 + (N-1) \tanh^2 \beta J \left(\frac{1 + \tanh^{N-4} \beta J}{1 + \tanh^N \beta J} \right) - N \tanh^2 \beta J \left(\frac{1 + \tanh^{N-2} \beta J}{1 + \tanh^N \beta J} \right)^2 \right)$$

В случае термодинамического предела, все дроби вида $\frac{1+\tanh}{1+\tanh}$ стремятся к единице (есть небольшое отклонение, которое при увеличении N смещается вправо и одновременно уменьшается. Тогда в итоге:

$$c = k_B \beta^2 J^2 \operatorname{sech}^2 \beta J$$

5 Свободная энергия

Учитывая предыдущие вычисления, будет удобно проверить формулу другой величины - свободной энергии для случая $h = 0$. Для этого слегка преобразуем нашу статсумму:

$$Z_{OBC} = \lambda_+^{N-1} A_+ (1 - (\frac{\lambda_-}{\lambda_+})^{N-1} (\frac{A_-}{A_+}))$$

где

$$A_+ = \frac{e^{\beta J} \sinh \beta h^2}{Q} + \frac{1}{e^{\beta J} Q} + \cosh \beta h$$
$$A_- = \frac{e^{\beta J} \sinh \beta h^2}{Q} + \frac{1}{e^{\beta J} Q} - \cosh \beta h$$

Тогда свободная энергия для случая $h=0$ будет равна:

$$F_{h=0} = k_B T \ln Z = k_B (N-1) \ln \lambda_+ + k_B T \ln A_+ + k_B T \ln (1 - (\frac{\lambda_-}{\lambda_+})^{N-1} (\frac{A_-}{A_+}))$$

Ранее мы узнали все преобразования при $h = 0$: $A_+ = 2$, $A_- = 0$, следовательно:

$$F_{h=0} = k_B T (N-1) \ln (2 \cosh \beta J) + k_B T \ln 2$$

Результаты снова совпали с формулой из учебника [1].

Тогда руководствуясь предыдущими расчётами для случая $J=0$, свободная энергия для данного случая (зная, что $\lambda_+ = 2 \cosh \beta h$, $\lambda_- = 0$, $A_+ = 2 \cosh \beta h$) будет равна:

$$F_{J=0} = k_B T N \ln (2 \cosh \beta h)$$

6 Разница между открытым и периодичным случаем

Будем рассматривать разность между различными энергетическими величинами при разных случаях.

6.1 Средняя энергия системы (равное число спинов)

Найдём разность средней энергии открытого и периодичного случая:

$$\langle U_{OBC} \rangle - \langle U_{PBC} \rangle = -\frac{\partial \text{Log}[Z_{OBC}]}{\partial \beta} + \frac{\partial \text{Log}[Z_{PBC}]}{\partial \beta} = -\frac{\partial \text{Log}[\frac{Z_{OBC}}{Z_{PBC}}]}{\partial \beta} \quad (6.1)$$

$$\frac{Z_{OBC}}{Z_{PBC}} = \frac{A_+ \left(1 + \left(\frac{\lambda_-}{\lambda_+}\right)^{N-1} \frac{A_-}{A_+}\right)}{\lambda_+ \left(1 + \left(\frac{\lambda_-}{\lambda_+}\right)^N\right)}$$

$$A_{\pm} = \frac{e^{\beta J} \sinh \beta h^2}{Q} + \frac{1}{e^{\beta J} Q} \pm \cosh \beta h$$

Учитывая что мы рассматриваем системы при $N \rightarrow \infty$, все скобки вида $\text{Log}[1 + (<1)^N] \approx (<1)^N$
Тогда

$$\langle U_{OBC} \rangle - \langle U_{PBC} \rangle = -\frac{\partial (\text{Log}[\frac{Z_{OBC}}{Z_{PBC}}])}{\partial \beta} = -\frac{\partial}{\partial \beta} \left(\text{Log}[\frac{A_+}{\lambda_+}] + \left(\frac{\lambda_-}{\lambda_+}\right)^{N-1} \left(\frac{A_-}{A_+} - \frac{\lambda_-}{\lambda_+}\right) + o\left(\left(\frac{\lambda_-}{\lambda_+}\right)^{N-1}\right) \right) \quad (6.2)$$

Перед тем, как продолжить расчёты, стоит заранее найти производные отношений $\frac{\lambda_-}{\lambda_+}$ и $\frac{A_-}{A_+}$.
Тогда производная их частного будет выглядеть как:

$$\left(\frac{\lambda_-}{\lambda_+}\right)'_{\beta} = \frac{(\lambda_-)'_{\beta} \lambda_+ - \lambda_- (\lambda_+)'_{\beta}}{\lambda_+^2}$$

Все значения для крайних случаев можно легко взять из нашей таблицы.

$$h = 0 : \frac{J}{\cosh^2 \beta J}$$

$$J = 0 : 0$$

Теперь перейдём к A_{\pm} . Поскольку они имеют одинаковые слагаемые, отличающиеся по знаку, то для упрощения можно представить их как:

$$A_{\pm} = A_0 \pm \cosh \beta h$$

Тогда при дифференцировании частного половина слагаемых в числителе сократится, а другая сложится:

$$\begin{aligned} \left(\frac{A_-}{A_+}\right)'_{\beta} &= \frac{(A_-)'_{\beta} A_+ - A_- (A_+)'_{\beta}}{A_+^2} = \frac{(A'_0 - h \sinh \beta h)(A_0 + \cosh \beta h) - (A_0 - \cosh \beta h)(A'_0 + h \sinh \beta h)}{A_+^2} = \\ &= 2 \frac{A'_0 \cosh \beta h - A_0 h \sinh \beta h}{A_+^2} \end{aligned}$$

Формулу A'_0 и значения A_{\pm} для предельных значений можно взять из расчётов производной статсуммы и средней энергии. При предельных случаях производная частного A_- и A_+ обращается в ноль.

Теперь вернёмся к формуле (6.2) и продифференцируем всю скобку по β

$$\langle U_{OBC} \rangle - \langle U_{PBC} \rangle = -\frac{(A_+)'_{\beta}}{A_+} + \frac{(\lambda_+)'_{\beta}}{\lambda_+} + N \left(\frac{\lambda_-}{\lambda_+}\right)^{N-1} \left(\frac{\lambda_-}{\lambda_+}\right)'_{\beta} - (N-1) \left(\frac{\lambda_-}{\lambda_+}\right)^{N-2} \left(\frac{\lambda_-}{\lambda_+}\right)'_{\beta} \left(\frac{A_-}{A_+}\right) - \left(\frac{\lambda_-}{\lambda_+}\right)^{N-1} \left(\frac{A_-}{A_+}\right)'_{\beta} \quad (6.3)$$

Рассмотрим все значения и значения производных по β λ_+ и A_+ при $h = 0$ и $J = 0$ из таблицы. Путём подстановки в полученную формулу производной (6.3), получим:

$$h = 0 : J + JN \frac{(\tanh \beta J)^{N-1}}{(\cosh \beta J)^2} \approx_{N \rightarrow \infty} J^2$$

$$J = 0 : 0$$

6.2 Средняя энергия системы (равное число рёбер)

Рассмотрим теперь случай с равным числом рёбер - он достигается при сравнении моделей с периодическим гран. условием с N спинами и с открытым гран. условием с $N+1$ спинами, тогда формула (6.2) станет:

$$\langle U_{OBC} \rangle - \langle U_{PBC} \rangle = -\frac{\partial}{\partial \beta} \left(\text{Log}[A_+] + \left(\frac{\lambda_-}{\lambda_+}\right)^N \left(\frac{A_-}{A_+} - 1\right) + o\left(\left(\frac{\lambda_-}{\lambda_+}\right)^N\right) \right) \quad (6.4)$$

Все дополнительные расчёты производных мы сделали в предыдущем подразделе, поэтому перейдём к изменённой формуле, аналогичной (6.3), и затем сразу к предельным случаям:

$$\langle U_{OBC} \rangle - \langle U_{PBC} \rangle = -\frac{(A_+)'_{\beta}}{A_+} - N \left(\frac{\lambda_-}{\lambda_+}\right)^{N-1} \left(\frac{\lambda_-}{\lambda_+}\right)'_{\beta} \left(\frac{A_-}{A_+} - 1\right) - \left(\frac{\lambda_-}{\lambda_+}\right)^N \left(\frac{A_-}{A_+}\right)'_{\beta} \quad (6.5)$$

$$h = 0 : JN \frac{(\tanh \beta J)^{N-1}}{(\cosh \beta J)^2} \approx_{N \rightarrow \infty} 0$$

$$J = 0 : -h \tanh \beta h$$

6.3 Теплоёмкость системы (равное число рёбер)

Формулу для теплоёмкости системы возьмём из (4.1) без деления на N :

$$c = \frac{\partial U}{\partial T} = -\frac{1}{k_B T^2} \frac{\partial U}{\partial \beta} = \frac{1}{k_B T^2} \frac{\partial^2 \text{Log}[Z]}{\partial \beta^2} \quad (6.6)$$

Так как мы рассматриваем случай равных рёбер, то как и в прошлый раз, возьмём систему из N спинов для модели с периодическим гран. условием и систему из $N+1$ спинов для модели с открытым гран. условием - таким образом мы получим вторую производную знакомого нам выражения из формулы (6.4):

$$c_{OBC}^{N+1} - c_{PBC}^N = \frac{1}{k_B T^2} \frac{\partial^2}{\partial \beta^2} \text{Log}\left[\frac{Z_{OBC}}{Z_{PBC}}\right] = \frac{1}{k_B T^2} \frac{\partial^2}{\partial \beta^2} \left(\text{Log}[A_+] + \left(\frac{\lambda_-}{\lambda_+}\right)^N \left(\frac{A_-}{A_+} - 1\right) + o\left(\left(\frac{\lambda_-}{\lambda_+}\right)^N\right) \right) \quad (6.7)$$

Рассмотрим первые два слагаемых выражения в скобках по отдельности, чтобы не запутаться в расчётах:

$$(\text{Log}[A_+])''_{\beta} = \frac{(A_+)'_{\beta}}{A_+} - \left(\frac{(A_+)'_{\beta}}{A_+}\right)^2$$

$$\left(\left(\frac{\lambda_-}{\lambda_+}\right)^N \left(\frac{A_-}{A_+} - 1\right)\right)''_{\beta} =$$

$$\frac{(\tanh x)^{N-1}}{(\cosh x)^2} = x^{N-1} + o(x^N) \approx 0, x \rightarrow 0$$

$$= \frac{\rightarrow 1}{\rightarrow \infty} \approx 0, x \rightarrow \infty$$

$$= N(N-1)\left(\frac{\lambda_-}{\lambda_+}\right)^{N-2}\left(\frac{\lambda_-}{\lambda_+}\right)'^2\left(\frac{A_-}{A_+} - 1\right) + N\left(\frac{\lambda_-}{\lambda_+}\right)^{N-1}\left(\frac{\lambda_-}{\lambda_+}\right)''_{\beta}\left(\frac{A_-}{A_+} - 1\right) + 2N\left(\frac{\lambda_-}{\lambda_+}\right)^{N-1}\left(\frac{\lambda_-}{\lambda_+}\right)'_{\beta}\left(\frac{A_-}{A_+}\right)'_{\beta} + \left(\frac{\lambda_-}{\lambda_+}\right)^N\left(\frac{A_-}{A_+}\right)''_{\beta}$$

Все вспомогательные расчёты для предельных случаев были сделаны в Wolfram Mathematica (Проект2.pdf, Теплоёмкость) [2], поэтому пропустим этот шаг и перейдём к итоговым выражениям:

$$h = 0 : -N(N-1)J^2 \frac{(\tanh \beta J)^{N-2}}{(\cosh \beta J)^2}$$

$$J = 0 : 0$$

6.4 Квадрат намагниченности системы (равное число рёбер)

Формула среднего квадрата намагниченности во многом схожа с формулой теплоёмкости при предельных случаях. С одной стороны, по определению средней наблюдаемой величины, квадрат намагниченности представима в виде:

$$\langle M^2 \rangle = \frac{1}{Z} \sum_{\{\sigma\}} M^2 e^{-\beta H}, \quad (6.8)$$

где H - гамильтониан системы (1.3).

С другой стороны:

$$\frac{1}{Z} \sum_{\{\sigma\}} M^2 e^{-\beta H} = \frac{1}{\beta^2} \left(\frac{\partial^2 \log Z}{\partial h^2} + \left(\frac{\partial \log Z}{\partial h} \right)^2 \right) = \langle M^2 \rangle \quad (6.9)$$

Правое слагаемое в скобке является квадратом средней намагниченности, который при предельных случаях равна нулю, поэтому нам достаточно только левого. Это значит, что в формуле разности будет то же самое выражение под знаком дифференцирования, что и в формулах (6.4) и (6.7). Опять же, мы берём $N+1$ спин для открытого условия, и N для периодического. Тогда:

$$\langle M_{OBC}^2 \rangle - \langle M_{PBC}^2 \rangle = \frac{1}{\beta^2} \frac{\partial^2}{\partial h^2} \text{Log} \left[\frac{Z_{OBC}}{Z_{PBC}} \right] = \frac{1}{\beta^2} \frac{\partial^2}{\partial h^2} \left(\text{Log}[A_+] + \left(\frac{\lambda_-}{\lambda_+} \right)^N \left(\frac{A_-}{A_+} - 1 \right) + o\left(\left(\frac{\lambda_-}{\lambda_+} \right)^N \right) \right) \quad (6.10)$$

Воспользуемся расчётами Wolfram Mathematica (Проект2.pdf, Квадрат намагниченности), и получим:

$$h = 0 : \frac{1}{2}(2e^{2\beta J} - e^{4\beta J} + 1) + 2N(\tanh \beta J)^N - 2e^{2\beta J}(\sinh \beta J)^2(\tanh \beta J)^N$$

$$J = 0 : 1 - (\tanh \beta J)^2$$

7 Поведение модели Изинга вблизи крит. температуры

Критическая область - одна из сложнейших областей для изучения поведения любой термодинамической модели, как для теоретическим, так и экспериментальным способом. В частности, есть предположение, что модель Изинга вблизи крит. температуры показывает схожесть в поведении с фазовым переходом жидкой/парообразной системы в области тройной точки, что даёт интересный повод для изучения данной области и расчётов критических экспонент с помощью симуляций Монте-Карло.

Определим приведённую температуру t как "расстояние" от критической температуры:

$$t = \frac{T - T_C}{T_C} \quad (7.1)$$

T - текущая температура модели, T_C - критическая температура. Тогда корреляционная длина при термодинамическом пределе (системе бесконечной длины) в критической области будет:

$$\xi \sim |t|^{-\nu} \quad (7.2)$$

где ν - критическая экспонента

Также мы можем определить другие экспоненты - к примеру, в нормальной модели Изинга определяются экспоненты γ , α и β для магнитной восприимчивости, теплоёмкости и намагниченности соответственно:

$$\chi \sim |t|^{-\gamma} \quad (7.3)$$

$$c \sim |t|^{-\alpha} \quad (7.4)$$

$$m \sim |t|^{-\beta} \quad (7.5)$$

Рассмотрим случай квадрата намагниченности:

$$m^2 \sim |t|^{-2\beta} \quad (7.6)$$

Воспользовавшись (7.2), избавимся от t :

$$m^2 \sim \xi^{2\beta/\nu} \quad (7.7)$$

учитывая поведение корреляционной длины в конечноразмерных системах (книга "Monte Carlo Methods in Statistical Physics график 4.1 и стр. 232-233) [3], мы можем представить функцию квадрата намагниченности в виде:

$$m^2 = \xi^{-2\beta/\nu} m_{02}(L/\xi) \quad (7.8)$$

Где L - размер системы (для квадратной решётки кол-во спинов = $L * L$)
 m_{02} обладает следующими свойствами:

$$\begin{aligned} m_{02}(x) &= C, \quad x \gg 1 \\ m_{02}(x) &\sim x^{-2\beta/\nu}, \quad x \rightarrow 0 \end{aligned}$$

Так как (7.8) содержит неизвестную нам корреляционную длину, преобразуем её с новой безразмерной функцией:

$$\tilde{m}_{02}(x) = x^{-2\beta} m_{02}(x^\nu) \quad (7.9)$$

Тогда получим:

$$m^2 = L^{-2\beta/\nu} \tilde{m}_{02}(L^{1/\nu} |t|) \quad (7.10)$$

7.1 Расчёты крит. экспонент при наблюдении коллапса данных

Для того, чтобы найти крит. экспоненты β и ν , а также крит. температуру модели, достаточно определить, при каких их значениях графики шкалирующих функций \tilde{m}_{02} для разных размеров L системы сливаются к как можно более однородному графику. Для этого значение шкал. функции рассчитывается из (7.10):

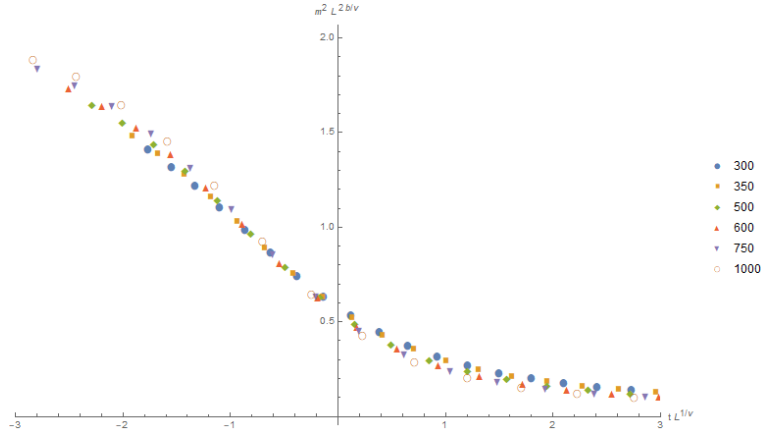
$$\tilde{m}_{02} = L^{-2\beta/\nu} m_L^2(t) \quad (7.11)$$

В случае квадрата намагниченности наилучший коллапс данных наблюдался при:

$$T_C = 1.1976$$

$$\beta = 0.12$$

$$\nu = 1.01$$



7.2 Определение погрешностей измерений экспонент

Разумеется, поскольку мы не можем численно определить качество коллапса данных, а лишь визуально определить при каких значениях он будет лучше, необходимо задать погрешность - область значений критических экспонент и температур, при которых качество коллапса данных наблюдаемой величины при измерении "на глаз" не меняется.

Таким образом, мы уточняем возможные критические значения для сравнения с расчётов в других источниках, для определения модели по её поведению.

Для начала рассмотрим погрешность измерений критической температуры при зафиксированных значениях крит. экспонент, взятых из лекций Янке [4]: $\beta = 1/8$, $\nu = 1$

Последующие изменения значения крит. температуры вне данных граничных значений приводят к заметному разветвлению графиков и, следовательно, к ухудшению качества коллапса данных.

Теперь рассмотрим погрешность для экспоненты при фиксированных T_c и β ($T_c = 1.195$)

Изменение ν ведёт к тому, что коллапс данных наблюдается всё дальше и дальше от области критической температуры. Крайние значения для β , в свою очередь:

(Рекомендуется оставить один вид графиков и трёх предложенных)

Таким образом, крит. экспоненты и температура имеют вид:

$$T_C = 1.195 \pm 0.005$$

$$\beta = 0.12 \pm 0.01$$

$$\nu = 1.00 \pm 0.05$$

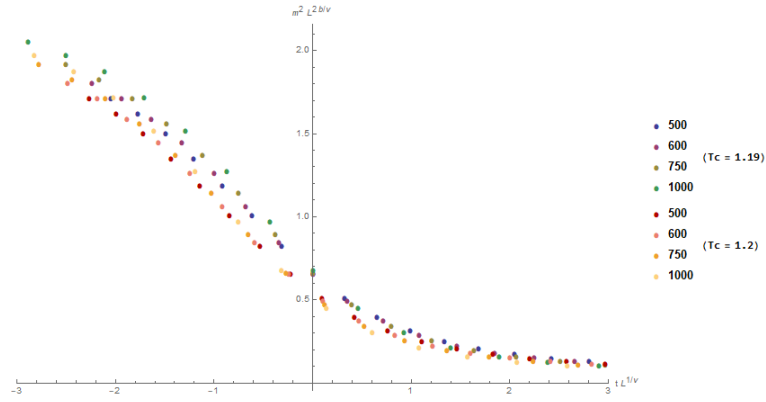


Рис. 1: Графики масштабирующих функций при найденных крайних значениях критической температуры для решеток со сторонами 500-1000

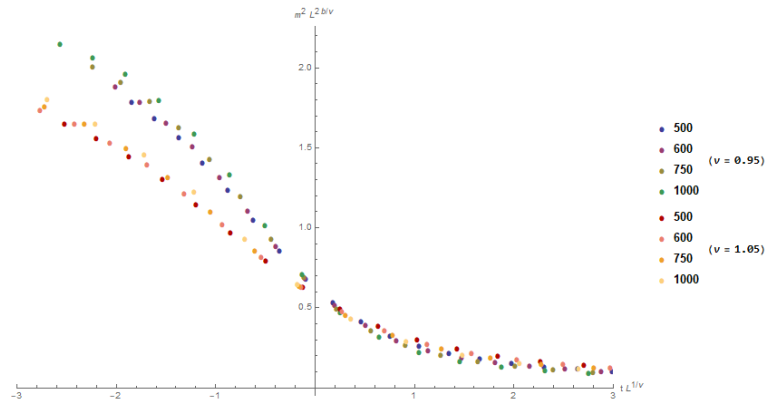


Рис. 2: Графики масштабирующих функций при найденных крайних значениях критической экспоненты ν для решеток со сторонами 500-1000

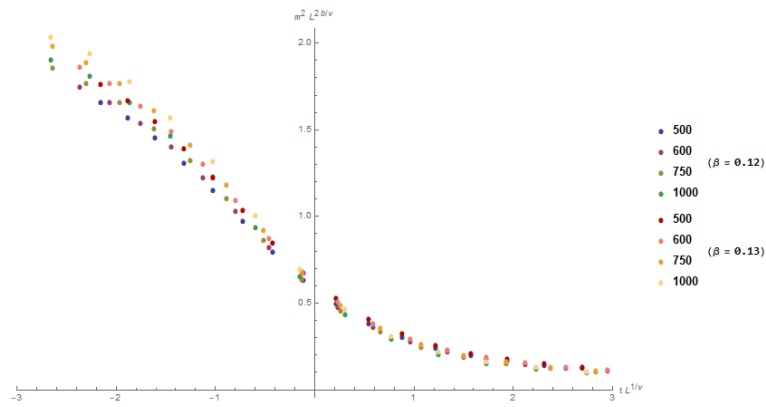


Рис. 3: Графики масштабирующих функций при найденных крайних значениях критической экспоненты β для решеток со сторонами 500-1000

8 Расчёт критических кумулянтов для модели прямоугольного Изинга

Кумулянт Биндера для модели Изинга в критической точке рассчитывается по формуле:

$$U_4 = 1 - \frac{\langle m^4 \rangle}{3 * (\langle m^2 \rangle)^2} \quad (8.1)$$

где $\langle m^2 \rangle$ - средний квадрат удельной намагниченности, $\langle m^4 \rangle$ - средняя удельная намагниченность в четвертой степени.

Для сравнения значения кумулянтов модели прямоугольного Изинга с разными размерами, но одинаковым отношением сторон (так же Aspect Ratio), были проведены симуляции модели на основе алгоритма из проектной работы Сорокина Никиты [5] и Камиллы Файзулиной [6] - для этого были взяты длины 50, 100, 200 и 400 и отношения сторон 1/4, 1/2, 3/4 при $2 * 10^6$ итераций.

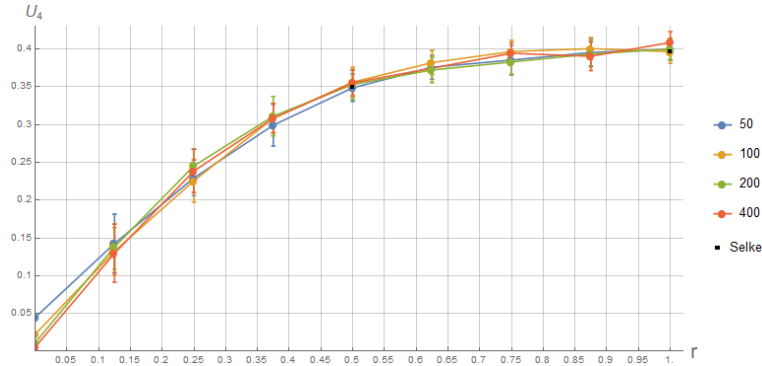


Рис. 4: График зависимости значения кумулянта Биндера в крит. точке от Aspect Ratio при открытых граничных условиях

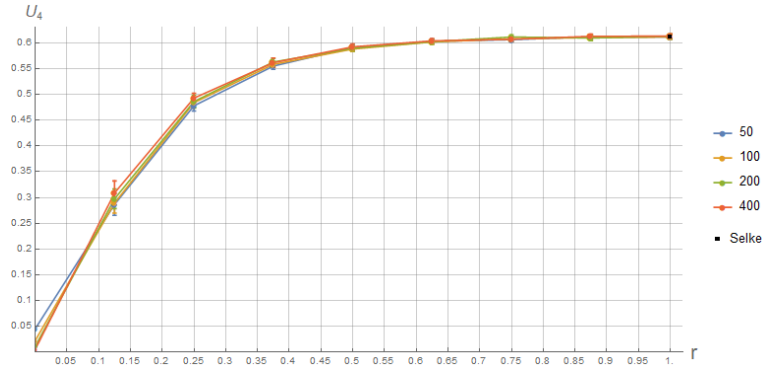


Рис. 5: График зависимости значения кумулянта Биндера в крит. точке от Aspect Ratio при периодических граничных условиях

Крайние левые точки в отметке нуля являются расчётами для модели одномерного Изинга (где длина цепочки равна соответствующей стороне в двумерном изинге). Так, в случае открытых граничных условий (рис. 4) и периодических (рис. 5) значения кумулянта стремятся к нулю с увеличением длины цепочки (см. Проект6.pdf [2]). Черными точками отмечены значения критического кумулянта из работы Уолтера Сельке - 0.396 ± 0.002 для квадратной модели и 0.349 ± 0.002 для прямоугольной с отношением сторон $r = 1/2$ при открытых граничных условиях. Для периодического случая квадратной модели критический кумулянт равен 0.61069 [7].

Эти же значения отмечены в графиках 6 и 7 зависимости крит. кумулянта от обратной длины стороны как крайние левые (в нуле - так обозначен случай термодинамический предел).

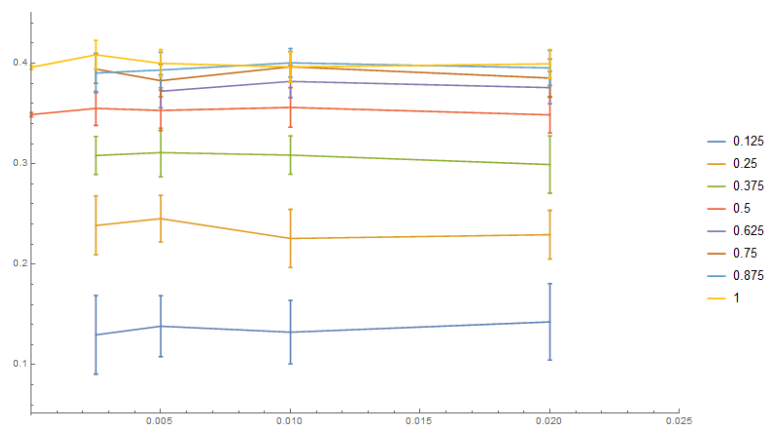


Рис. 6: График зависимости значения кумулянта Биндера в крит. точке от обратной длины стороны при открытых гран. условиях

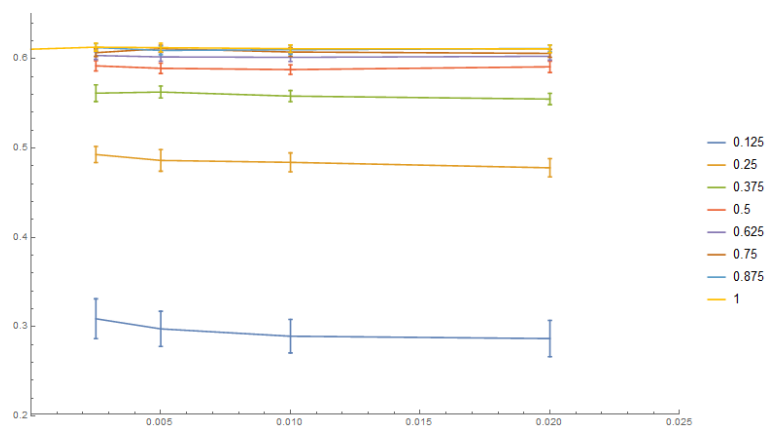


Рис. 7: График зависимости значения кумулянта Биндера в крит. точке от обратной длины стороны при периодических гран. условиях

Список литературы

- [1] Swendsen R. An introduction to statistical mechanics and thermodynamics. – Oxford University Press, USA, 2020.
- [2] Github Repository: Chpel/ProjectMagnet (<https://github.com/Chpel/ProjectMagnet>)
- [3] M. E. J. Newman, G. T. Barkema Monte Carlo Methods in Statistical Physics - Clarendon Press, 1999.
- [4] Wolfhard Janke Monte Carlo Methods in Classical Statistical Physics (from Lecture Notes in Physics - Springer) - Institut für Theoretische Physik and Centre for Theoretical Sciences, Universität Leipzig, 04009 Leipzig, Germany
- [5] Github Repository: ShroedingerCat/Self-learning-Monte-carlo-algorithms (<https://github.com/ShroedingerCat/Self-learning-Monte-carlo-algorithms>)
- [6] Github Repository: kamilla0503/SAWs (<https://github.com/kamilla0503/SAWs>)
- [7] W. Selke Critical Binder cumulant of two-dimensional Ising models - Institut für Theoretische Physik, Technische Hochschule RWTH Aachen, 52056 Aachen, Germany